تأثير سرعة القطع ومعدل التغذية على خشونة السطوح المنتجة بالتفريز الحيطي للفولاذ المتوسط الكاربون (CK₄₅)

م.م. يونس فاخر عودة ماجستير هندسة قوالب / المعهد التقني في الناصرية

الخلاصة:

يهدف البحث إلى دراسة تأثير خمس قيم من سرعة دوران سكينة التفريز (r.p.m)، 450 ، 450 ، 450 ، 170 ، 50 r.p.m) باعتبارها دالة لسرعة القطع في التفريز المحيطي لُخمس قيم من معدل التغذية (1.0 ، 0.8 ، 0.6 ، 0.4 ، 0.2 mm) على خشونة السطوح المنتجة بالتفريز المحيطى للفولاذ المتوسط الكاربون (CK₄₅) ، حيث تم حساب درجة الخشونة عمليا ً بالاعتماد على نظرية القمة / القاع (Peak / Valley) لـ (٥٥) عينة اختبار .

أوضحت نتائج البحث بأن زيادة سرعة القطع يصاحبها انخفاض مستوى خشونة السطح المشغل مما يؤدي الى جودة الإنهاء السطحي لمنتجات التفريز المحيطي.

كما إن زيادة معدل التغذية تؤدي إلى زيادة في خشونة السطح المشغل الأمر الذي يؤدي إلى انخفاض في جودة الإنهاء السطحي . وقد بينت النتائج انه بالإمكان الحصول على درجة خشونة اقل للسطوح المنتجة بالتفريز المحيطى للفولاذ المتوسط الكاربون (CK_{45}) من خلال أعلى سرعة قطع واقل معدل تغذية.

- المقدمة والدراسات السابقة:

تعد عمليات التشغيل من أهم عمليات التصنيع الأساسية ، إذ أن عمليات التصنيع الأساسية تتضمن عمليات التشكيل ، التي تتمثل بعدم إزالة رايش مثل البثق والدرفلة والسحب وعمليات التشغيل التي تتمثل بإزالة جزء من المادة على شكل رايش مثل الخراطة والتفريز والقشط [١] ، كما وتصرف الملايين من الدورات سنويا على الانجاز الدقيق والنوعي لمنتجات عمليات التصنيع بشكل عام ، وأصبح الاهتمام كبيراً بنوعية الإنتاج إضافة الى كميته من خلال التركيز على طرق التصنيع العلمية التي تستند على التجربة والتحليل والتطابق مع رغبة المستهلك المطلوبة [٢] ، وفي واقع الأمر ، فأن عمليات التصنيع بشكل عام يمكن ان تتغير من فترة الى أخرى تبعا للحاجات الأنية للمستهلك اعتمادا على

التغيير النوعي في خواص المشغولات الناتجة من تغييرات علمية في جودة الإنهاء السطحي إضافة الى خواص المنتج الأخرى مثل المتانة ومقاومة التآكل وغيرها [٣] .

لذا اهتم الباحثون في مجال عمليات التصنيع اهتماما كبيرا بمتغيرات عمليات التشغيل الميكانيكي وظروف التشغيل مثل سرعة القطع (Cutting Speed) ومعدل التغذية (Feed Rate) وعمق القطع (Cutting Depth) الى جانب الاهتمام بأختيار نوع عدة التشعيل ذات العمر الأطول ، وقدرة أدوات التشعيل على الإنتاجية النوعية بما يقلل من كلف الإنتاج ويزيد من الفترة الزمنية لأستخدام (الشغلة - العدة) ذات العلاقة منظومات القطع بعملية التشغيل [٤] ، الأمر الذي أدى الى زيادة في عدد البحوث العلمية في مجال تشغيل المعادن خلال القرنين الأخيرين بهدف الوصول الى الفهم الصحيح

لأساسيات التشغيل مع بناء نماذج تشكيل تعطي تفسيرا واضحا لأي ظاهرة تحدث أثناء عمليات التشغيل سواء منها ما يتعلق بالشغلة أو العدة المستخدمة أو كلاهما معا [٤] اعتمادا على حقيقة واضحة وهي أن اختيار ظروف التشغيل الجيدة مع اختيار العدد والأدوات التي تمتاز بسرعة قطع عالية ممكن أن تؤدي الى إنهاء سطحي جيد وتخفيض لقوى القطع المطلوبة الى جانب أدنى استهلاك للطاقة [٥].

ففي عمليات التفريز مثلاً ، التي تعد واحدة من عمليات التشغيل ، فقد توجه الباحثون الى دراسة متغيرات وظروف القطع ، ودراسة سلوك العديد من المعادن مثل الفولاذ والالمنيوم وحديد الزهر وغيرها من عمليات التشغيل السريعة مع وضع الحلول والمعالجات لمشاكل اهتزاز الماكنات واستقرارية القطع ، إضافة الى وجود دراسات متقدمة في مجال الإنهاء السطحي الناتج من عمليات القطع السريعة في الظروف الصناعية المختلفة ولسبائك مختلفة [1]

الباحث (C . Arcona) درس تأثير تغيير ظروف القطع في عمليات الخراطة باستخدام نموذج نظري مصمم من قبله لمنظومة القطع ولاحظ إن سرعة القطع (Cutting Speed) لها تأثير كبير على درجة الإنهاء السطحي الجيد .

كما إن الباحث (E. J Amarego) [^] اهتم بدراسة تقييم ظروف القطع في عمليات القطع العمودي وعلاقتها بالتصليد الانفعالي لمنتجات البثق والسحب

وقام الباحث بتطبيق نظرية القطع في نمذجة أداء منظومة القطع ذات الإنتاج الكمي الواسع ، ووجد أن اختيار ظروف القطع وخاصة سرعة القطع (Cutting Speed) ومعدل التغذية (Rate) لهما أثر كبير في إنتاج المشغولات ذات الإنهاء السطحي الجيد ، وقد أوصى باعتماد ذلك التطبيق في عمليات تشغيل أخرى مثل التفريز والتجليخ .

بينما تناول الباحث (M . C . Shaw) [9] دراسة العوامل الرئيسية التي تؤثر في منظومة القطع في التفريز الطرفي مع توضيح للعوامل ذات العلاقة مثل معدن عدة القطع وشكلها الهندسي وطريقة تغليفها ... ألخ

كما أن الباحث (S. G. Kapoor) أوضح في دراسته التي تناولت عمليات القطع في التفريز المحيطي أن عمليات القطع السريعة ستؤدي الى نشوء نوع جديد من الحدود القاطعة وان ٨٠% من الطاقة الحرارية المتولدة في عملية القطع ناتجة من تشكيل الرايش وتتمركز في مستوى القص مما تؤدي الى إعاقة عملية القطع ، وان ما توصل إليه يتفق مع

نتائج الباحث (Oxley) [11] الذي أوضحت دراسته أن الرايش سيصبح أكثر تقسيماً بزيادة السرعة مما يجعل الاهتمام بهذا الأمر كبيراً في التخلص من الرايش وخاصة في الحدود القاطعة للعدة ، وان زيادة سرعة القطع (Cutting Speed) ستؤدي الى إنهاء سطحى جيد .

كما أن هناك بحوث أخرى ركزت على بناء نماذج من منظومات القطع هدفها زيادة استقرارية القطع والتنبوء بنتائج تأثير متانة المعدن وعدة القطع وخواص امتصاص الصدمة في المعدن والعدة، والاهتزازات الناتجة من عمليات القطع إضافة الى تلافي نشوء الحد القاطع الناشيء الذي يؤثر بدوره على خشونة السطح المشغل وقلة عمر أداة القطع .

ولم تكن الدراسة الحالية لتختلف عن سابقاتها في مجال عمليات التشغيل الميكانيكي ألا أنها ركزت على إيجاد العلاقة بين سرعة القطع (Cutting Speed) وتأثيراتهما على ومعدل التغذية (Feed Rate) وتأثيراتهما على خشونة السطوح المنتجة بالتفريز المحيطي للفولاذ المتوسط الكربون (CK₄₅) ، أي أنها كانت أكثر تركيزاً على اختيار ظروف القطع وتحديد نوع التأثير على نوع محدد من المعادن .

٢ - الجانب النظري:

تعد عملية التغريز واحدة من عمليات التشغيل، وفيها يتم قطع المعدن بواسطة عدة متعددة الحدود القاطعة تدعى (سكينة التغريز) مثبتة على محور دوران يسمى عمود أدارة ماكنة التغريز (الشياق)، واستناداً الى اتجاه التغذية، فان عملية التغريز تقسم الى نوعين: التغريز الصاعد، وفي هذه العملية تدور عدة القطع باتجاه معاكس للتغنية أما التغريز النازل فان عدة القطع في هذه العملية تدور بنفس اتجاه التغنية.

لذا فأن سرعة القطع (Cutting Speed) تعني المسافة الخطية التي يقطعها الحد القاطع للعدة بالنسبة الى السطح المشغل في اتجاه الحركة الرئيسية في وحدة الزمن ، وتعتمد على قطر الشغلة ، وعدد دورات عدة القطع وحسب الصيغة الرياضية الآتية [1]:

$$Vc = \frac{\pi DN}{1000} \qquad m / \min \qquad (1)$$

حيث أن:

، (Cutting Speed) سرعة القطع $V_{\rm C}$. (m / min) وحداتها

. (r.p.m) عدد الدورات بالدقيقة (r.p.m

D = قطر سكينة التفريز (mm).

أما التغذية (feed) تعني حركة العدة القاطعة بالنسبة الى الجزء المشغل ، أو حركة الجزء المشغل بالنسبة الى العدة في اتجاه التغذية في فترة زمنية معينة ، وتقاس ب (rev) ، وفي عملية التفريز ، فأن معدل التغذية (Feed Rate) (fz) (Feed Rate) يمكن حسابه من المعادلة الآتية [1] :

$$f_Z = \frac{V_f}{N * Z} \qquad \dots (2)$$

حيث أن:

(feed rate) معدل التغذية = f_z

(feed speed) سرعة التغذية = V_f

Z = عدد أسنان سكينة التفريز

(r.p.m) سرعة الدوران N

مع الأخذ بنظر الاعتبار أن معدل سرعة الدوران العالية لأكثر من (r.p.m) يفرض شروطاً إضافية لعملية القطع تتعلق بطبيعة محور الدوران وصلابة عدة القطع ونوعية المشغولة بالإضافة الى متطلبات السلامة والأمان في العمل وصولاً الى تخفيض الاهتزازات في محور الدوران مما يؤثر بشكل ايجابي على جودة الإنهاء السطحي مع المحافظة على شروط عملية القطع الأساسية . إذ أن هذه التقنية المترابطة لها صعوباتها التي ترتبط بحركة الماكنة وسلوك عدة القطع واتزان منظومة القطع وملحقاتها

ولأغراض تبسيط الحسابات للحصول على معدل التغنية أو سرعتها يمكن اعتبار عدد أسنان سكينة التقريز مساويا الى الواحد الصحيح لأن كل سن من أسنان سكينة التقريز يعتبر حدا قاطعا يعمل بمفرده [7].

كما أن معدل التغذية (fz) يمكن استخدامه بشكل مباشر من لوحة مثبتة على بدن ماكنة التغريز لكي نحصل من خلاله على سرعة التغذية (Vf) التي تعد من عناصر القطع الرئيسية في عمليات التشغيل كونها تؤثر بشكل مباشر على درجة خشونة السطح المنتج بعملية التغريز التي تعتبر دالة فيزياوية لدرجة الإنهاء السطحي ، إذ يمكن حساب درجة خشونة السطح المشغل نظرياً من المعادلة التالية [1]:

$$Ra = \frac{0.0642}{D} \left(\frac{V_f}{N} \right)^2 \dots (3)$$

حيث أن:

Ra = درجة خشونة السطح المنتج في عمليات التفريز.

وبتعويض المعادلة (٢) في المعادلة (٣) نحصل على :

$$Ra = \frac{0.0642}{D} (fz)^2$$
(4)

ويتضح من المعادلة (٤) أن هناك عاملين يؤثران في درجة خشونة السطح المنتج بالتفريز هما معدل

التغذية (fz) وقطر سكينة التغريز (fz) ، ولثبات العامل الثاني في هذه الدراسة ، فأن العامل الأول سيبقى المؤثر الوحيد في المعادلة في الجانب النظري فقط ، الجدول (fz) يبين رقم الخشونة للسطح المنتج بالتغريز المحيطي لكل معدل تغذية طبقاً للمعادلة (fz)

جدول (١) رقم الخشونة للسطح المنتج بالتفريز المحيطي لكل معدل تغذية

معدل التغذية Feed rate (mm)	خشونة السطح المشغل Ra (μ m) x 10
0.2	0.5136
0.4	2.0544
0.6	4.6224
0.8	8.2176
1.0	12.84

٣ - الإجراءات العملية:

٣ - ١: تهيئة ظروف الاختبار:

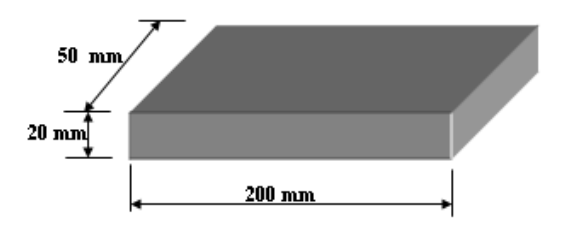
أجريت عمليات التفريز المحيطي الصاعد على ماكنة التفريز الجامعة نوع (-IWASHITAN) ذات السرعة الدورانية القصوى (K.65) والقدرة الحصانية (WW 24 (2000r.p.m) والقدرة الحصانية المحورين المتعامدين أقصى سرعة تغذية فيها على المحورين المتعامدين (45 mm / min) بأستخدام عدة قطع (سكينة تفريز) بقطر (50 mm) ، زاوية الخلوص فيها (8°) بينما كانت زاوية الجرف (10°) بما يتناسب ونوع المعدن

المستخدم في البحث حسب توصيات المصدر [١] ويوضح الجدول (٢) التحليل الكيمياوي للفولاذ المتوسط الكربون (CK₄₅) المستخدم في البحث والذى تم تحليله في المعهد المتخصص للصناعات الهندسية .

جدول (٢) التحليل الكيمياوي للفولاذ المتوسط الكربون (CK_{45}) المستخدم في البحث

Fe	Ņ	пЭ	Λ	M	Cr	oW	d	S	iS	иW	Э	العنصر
Rem	-	-	-	-	-	-	٠. ٠ ٠		£	8.0-5.0	0.42-0.5	القيمة القياسية
4.1	٠٠٠٠.		٠	31	٠١٠.	^*···	• • • • •	• • • • •	٠.۲٧٧	17.	٧٥٤٠٠	القيمة العملية

ويبين الشكل (١) أبعاد العينة المستخدمة في البحث ، التي تم تحضيرها على شكل لوح من الفولاذ المتوسط الكربون (CK45) بعدد ٧٥ عينة اختبار، وقد أجريت لها معالجة الحافات وتنظيف الزوائد العالقة من عملية القص مع تنظيف جيد لسطح العينة من الاكاسيد ، مع الأخذ بنظر الاعتبار التناسب بين طول سكينة التفريز وعرض المشغولة لكي تتم عملية التفريز المحيطى بشكل متكامل ، إذ أن هذا التناسب يساعد على تغطية سكينة التفريز لوجه العينة المطلوب تشغيلها [٢٦] . وقد أجريت عملية التفريز باستخدام سائل تبرید.



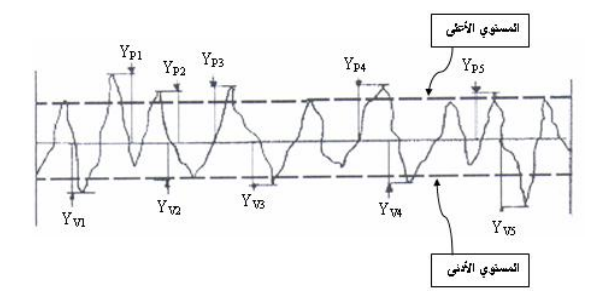
الشكل (١) أبعاد العينة المستخدمة في البحث من الفولاذ المتوسط الكاربون (CK45)

٣ - ٢ : طريقة إجراء الاختبار :

المرحلة الأولى: مع الاحتفاظ بقيمة ثابتة لعمق القطع وقطر سكينة التفريز المستخدمة في الاختبار مما يؤدي إلى ثبات سمك الرايش الناتج ، فقد أجريت عملية التفريز لخمسة قيم مختلفة من معدلات

التغذية mm / teeth) mm / teeth 1) ، وان كل معدل تغذية يصاحبه تغيير في عدد الدورات r.p.m (50 ، 170 ، 450 ، 750 ، 1200) وبمعدل ثلاث مرات لكل قيمة مفردة من الدورات، أي إن عملية التفريز التغذية وعدد المحيطى تضمنت (٧٥) تجربة قطع ، (خمس قيم من التغذية X خمس قيم لعدد الدورات X ثلاث عينات لكل قيمة).

المرحلة الثانية: بعد اكتمال تفريز كافة عينات الاختبار ، أجريت عملية فحص السطح المشغل لكل عينة على جهاز قياس الخشونة (Roughness gauge) نوع (Optical R.2700 L . I) نوع الجهاز يحتوي على ذراع متحسس وظيفته نقل الإشارة الى شاشة الجهاز الرئيسية مع تخطيطها على شريط ورقى ، ويوضح الشكل (٢) شكل السطح المشغل على الشريط الورقى باستخدام نظرية القمة / القاع (Peak / Valley) القاع



شكل (٢): يوضح نموذجا ً للتخطيط على الشريط الورقي السطح المشغل باستخدام نظرية القمة / القاع (Peak | (Valley

ومن خلال الشريط الورقى الناتج من جهاز قياس الخشونة لكل عينة من عينات الاختبار ، تم حساب خشونة السطح المنتج بعملية التفريز المحيطى بأستخدام العلاقة التالية عمليا:

$$Ra = \frac{\sum YPi + \sum YVi}{5}$$

حيث أن:

YPi : يمثل القمة (Peak) ، مقدار الزيادة فوق المستوى الأعلى.

YVi : يمثل القاع (Valley) ، مقدار الزيادة تحت المستوى الأدنى.

جدول (٣) أرقام خشونة السطح المنتج بالتفريز المحيطي إزاء كل معدل تغذية

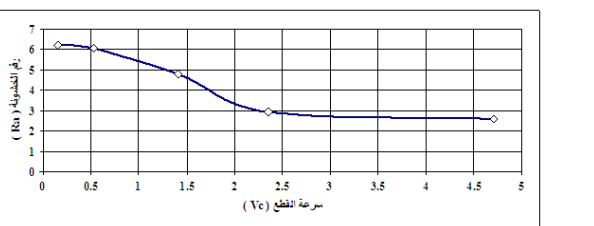
معدل التغذية Feed rate (mm)	السرعة الدورانية N(rev/min)	سرعة القطع (Cutting Speed) Vc(m/sec)	Ra(μ خشونة السطح المشغل m) x 10 *	متوسط خشونة السطح المشغل Ra(μ m) x 10	
	50.0	0.1570	3.33		
	170	0.5338	3.15	1.838	
0.2	450	1.4130	1.31	1.838	
	750	2.3550	0.80		
	1200	4.7100	0.60		
	50.0	0.1570	4.28		
	170	0.5338	4.07	2766	
0.4	450	1.4130	2.46	2.766	
	750	2.3550	1.56		
	1200	4.7100	1.46		
	50.0	0.1570	6.20		
	170	0.5338	6.08	4.53	
0.6	450	1.4130	4.80	4.53	
	750	2.3550	2.96		
	1200	4.7100	2.61		
	50.0	0.1570	8.56		
	170	0.5338	8.44	ć 40.4	
0.8	450	1.4130	6.13	6.484	
	750	2.3550	4.97		
	1200	4.7100	4.32		
	50.0	0.1570	10.70		
	170	0.5338	10.59	0.402	
1.0	450	1.4130	9.09	8.402	
	750	2.3550	6.43		
	1200	4.7100	5.20		

* رقم الخشونة الوارد في أي حقل من الجدول يمثل معدل ثلاث عينات

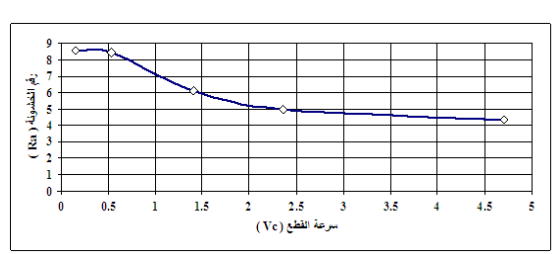
النتائج والمناقشة:

١ - النتائج النظرية:

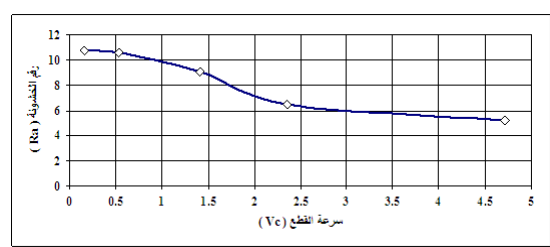
من البيانات الموضحة في جدول (١) أمكن رسم (X) على المحور (fz) على المحور ورقم خشونة السطح المشغل (Ra) على المحور (Y) لكل معدل تغذية (Feed Rate) وكما موضح بالشكل (٣) . وتسجيل أرقام الخشونة إزاء كل قيمة لمعدل التغذية وسرعة الدوران مع حساب سرعة القطع (Cutting Speed) التي تعتبر دالة للسرعة الدورانية ، الجدول (٣) يوضح أرقام خشونة السطح المنتج إزاء معدل التغذية والسرعة الدورانية وسرعة القطع .



شكل (٦) العلاقة بين سرعة القطع (Vc) ورقم الخشونة (Ra) عند معدل التغذية ٦.٠



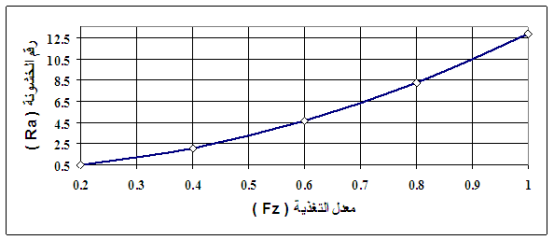
شكل (٧) العلاقة بين سرعة القطع (Vc) ورقم الخشونة (Ra) عند معدل التغذية ٨.٠



شكل (Λ) العلاقة بين سرعة القطع (Vc) ورقم الخشونة (Ra) عند معدل التغذية

ويمكن أن نلاحظ في الأشكال أن الزيادة في سرعة القطع عند أي معدل تغذية تؤدي الى انخفاض رقم الخشونة (أي أن سطح المشغولة سيصبح أقرب الى النعومة) وهذا يعني زيادة في جودة الإنهاء السطح المشغولة.

فعند أقل سرعة قطع وأقل قيمة تغنية نحصل على رقم خشونة (٣.٣٣) مايكرون ، وبزيادة سرعة القطع الى أقصاها (٤٠٧١ m / sec) ينخفض رقم الخشونة الى (٢٠٠٠) مايكرون ، وهذه القيمة الأخيرة لرقم الخشونة هي اقل من رقم الخشونة عند أقصى سرعة قطع بمعدل تغنية اكبر من السابق ، وهكذا لبقية قيم التغذية الأعلى ، أذ أن أفضل خشونة يمكن الحصول عليها من خلال عدم وجود الحد القاطع ويلاحظ من الشكل (٩) الذي يوضح العلاقة بين سرعة القطع ورقم خشونة السطح ، أن زيادة سرعة القطع تؤدي الى انخفاض واضح في خشونة السطح ، وهذا الانخفاض يعني جودة الإنهاء السطحي لعينات الفولاذ المتوسط الكاربون (CK45) .

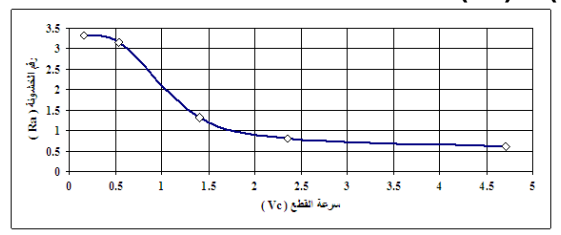


شكل ($^{\pi}$) العلاقة بين معدل التغذية ($^{\pi}$) ورقم خشونة السطح المشغل ($^{\pi}$)

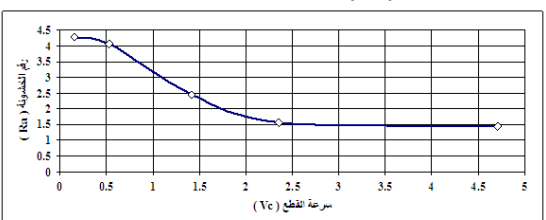
وتجدر الإشارة هنا الى أن رقم خشونة السطح المشغل يرتبط بمعدل التغذية (كمؤثر وحيد في الجانب النظري فقط) طالما أن قطر سكينة التفريز ثايتاً دون أن يكون أي تأثير لسرعة القطع ، والأمر يعود الى أن معدل التغذية مرتبط أساساً بالسرعة الدورانية ، إذ أن زيادة معدل التغذية يتناسب طردياً مع زيادة الحد القاطع الناشيء لعدة القطع وبالتالي فأن الحد القاطع الناشيء سيؤثر بشكل مباشر على خشونة السطح المشغل كما أن الزيادة في معدل التغذية تؤدي الى زيادة في درجة حرارة القطع وبالتالي فأن أداة القطع تتعرض الى الانهيار السريع الأمر الذي يزيد من خشونة السطح المشغل

٢ - النتائج العملية:

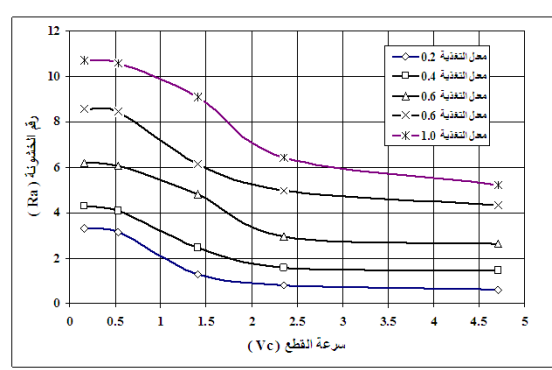
من البيانات الموضحة في جدول ($^{\circ}$) أمكن رسم العلاقة بين سرعة القطع (Cutting Speed) على المحور ($^{\circ}$ X) ورقم خشونة السطح المشغل ($^{\circ}$ X) على المحور ($^{\circ}$ Y) لكل معدل تغذية ($^{\circ}$ Peed Rate) وكما موضح بالأشكال ($^{\circ}$ Y) (



شكل (٤) العلاقة بين سرعة القطع (Vc) ورقم الخشونة (Ra) عند معدل التغذية ٢.٠



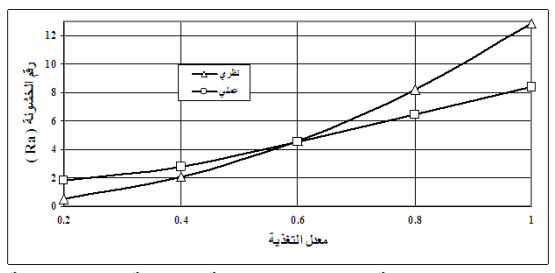
شكل (٥) العلاقة بين سرعة القطع (Vc) ورقم الخشونة (Ra) عند معدل التغذية ٤.٠



شكل (9) العلاقة بين سرعة القطع (Vc) ورقم الخشونة (Ra) عند معدلات تغذية مختلفة

٣ - مقارنة النتائج:

اعتماداً على النتائج النظرية التي حصلنا من خلالها على رقم الخشونة لكل معدل تغذية ، ومتوسط رقم الخشونة لكل معدل تغذية من النتائج العملية ، أمكن رسم العلاقة بين معدل التغذية ورقم الخشونة لغرض مقارنة النتائج النظرية والعملية ، الشكل رقم (١٠) يوضح المقارنة بين النتائج النظرية والعملية لرقم خشونة السطوح المنتجة بالتفريز المحيطي .



شكل (١٠) مقارنة بين النتائج النظرية والعملية لرقم الخشونة عند معدلات تغنية مختلفة

ومن خلال الشكل (١٠) نلاحظ وجود التفاوت البسيط بين القيم النظرية والقيم العملية خاصة عند معدلات التغنية أكبر أو أصغر من (٢٠٠)، وهذا التفاوت يعزى الى عوامل عديدة في الجانب العملي منها ظهور الحد القاطع الناشيء (Build-up edge)، اهتزاز الماكنة ، اذ ان الاهتزاز يؤثر بشكل مباشر على آلية التغذية كون معدل التغذية يرتبط بأستقرارية ماكنة التفريز وعدة القطع اضافة الى ذلك فان الفولاذ ملتوسط الكربون يعتبر هشاً بالقياس الى بقية انواع الفولاذ ، مما يسبب توليد رايش متقطع تلتصق جزيئاته الدقيقة على الحد القاطع للعدة (سكينة

التفريز) وبالتالي فأنه يؤثر بشكل سلبي في درجة خشونة السطح المشغل .

الاستنتاجات:

في ضوء نتانج الدراسة الحالية يمكن التوصل إلى الاستنتاجات التالية:

- ان زيادة سرعة القطع التي تمثل دالة لعدد دورات سكينة التفريز تؤدي إلى زيادة في جودة الإنهاء السطحى لنوع المعدن المحدد بالدراسة.
- لزيادة في معدل التغذية تؤدي الى زيادة في خشونة السطح وبالتالي الى انخفاض جودة الإنهاء السطحى.
- سرعة التشغيل العالية مع انخفاض معدل التغذية ينتج مشغولة ذات إنهاء سطحي جيد في التفريز المحيطي للفولاذ المتوسط الكاربون (CK₄₅) .
- 3 تتطابق نتانج الدراسة الحالية مع نتانج دراسات أخرى الى حد كبير ، وخاصة مع النتائج التي توصل إليها الباحثان (J.D. Thiele) [$^\circ$] و (J.D. Thiele) [8] و (Barry) [7] لمعادن اخرى ، كما موضح بالجدول (3) .

رقم الخشونة *	السرعة الدورانية	التغذية	المعدن	الباحث		
1.770	۲۰.	٠.٢	المنيوم			
7.571	1	٠.٤		J .D. Thiele		
1.79 £	۲۰.	٠.٢	فولاذ ۲۰			
7.9.7	1	٠.٤				
۲.۰۱	٥	٠.٢	فولاذ ۲۰			
۳.۱٤	1	٠.٤		J . Barry		
7.77	٥	٠.٢	فولاذ ٥ ـ ٦ ـ			
7.70	1	٠.٤	۲			
1.31	170	٠.٢	فولاذ متوسط	الدراسة الحالية		
2.46	450	٠.٤	الكربون CK ₄₅			

جدول (٤) مقارنة نتانج الدراسة الحالية مع نتانج دراسات اخرى لمعدنين

ولسرعتى دوران

تتطابق نتائج الدراسة الحالية للفولاذ المتوسط الكاربون (CK45) مع النتائج النظرية والعملية للمعادن الاخرى الواردة في توصيات المصدر [۱] أذ ان افضل معدل تغذية هو (٦٠٠٠) ، الذي يحصل عنده التطابق بين النتائج النظرية والعملية ، وهذا ماتحقق فعلاً في نتائج الدراسة الحالية

التوصيات:

١ - يمكن اعتماد خطوات الدراسة الحالية في حساب درجة الإنهاء السطحي للمعادن اللاحديدية .

Abstract:

The aim of this research is to study the effect of five values of rotational speeds of milling cutter (50 \cdot 170 \cdot 450 \cdot 750 \cdot 1200) r.p.m \cdot which are a represent the cutting speed in milling operations against five values of feed rates (0.2 \cdot 0.4 \cdot 0.6 \cdot 0.8 \cdot 1) mm on surface roughness produced by slab – milling of medium carbon steel (CK₄₅). The surface roughness was computed by experimental tests for (75) samples of milling process .

The experimental results showed that an increasing of cutting speed produces decreasing in roughness level which lead to high quality of surface roughness.

So \cdot an increasing of feed rate produces decreasing in quality surface roughness .

Also \cdot it was found that lowest surface roughness produced by slab – milling for medium carbon steel (CK₄₅) is obtained from high cutting speed as well as lower feed rate .

لمصادر

- 1- Geoffrey Boothroyd 'Fundamentals of Metal Machining and Machine Tools 'MC Graw Hill International Book Company '1975.
- 2- M. B. Larmmy 'Machining Processes Turning & Milling 'Vol. 7 'No.2' pp 72 74' 1988.
- 3- B. H. Amstead (Phillip F. Ostwald (Myron L. Begeman (Manufacturing Processes (John Wiley & Sons (7th Edition) (1984).

 ٢ - دراسة تأثير عوامل أخرى مثل عمق القطع وزمن القطع على خشونة السطوح المنتجة بالتفريز المحيطى.

٣ - دراسة تأثير نفس العوامل الواردة في الدراسة الحالية (سرعة القطع ومعدل التغذية) على خشونة السطوح المنتجة بالتفريز الجانبي أو التفريز الطرفي (End-Milling) .

- 4- M. M. Tagi S. R. Rama processes of Metal Cutting Industrial production vol. (38) No. 4 August 1985 pp. 250 372.
- 5- J. D. Thiele "Effect of cutting geometry and work piece hardness on surface generation in the finish hard turning "
 Metal process Technology 94: 216-226 (1999).
- 6- J. Barry "Experimental Work to Evaluate a surface in end-milling process "SME Technical paper "Proceedings of 1st International Machining and Conference" 1995 pp 951-960.
- 7- C. Arcona "An Empirical Tool Force Model for Precision Machining" Journal of Manufacturing Science and Engineering Vol. 120 pp 700 – 707 1998.
- 8- E. J Amarego "AGeneric Mechanics of Cutting Approach to Predictive Technological Performance Modeling of Machining Operations "Machining Science and Technology Vol. 2 pp 191-211 1998
- 9- M . C . Shaw Principles of Abrasive processing 1st Edition www.Clarendon.com press Oxford .
- 10-S. G. Kapoor "Development of Mechanistic Models for the Prediction of Machining Performance" Machining Science and Technology Vol. 2 N. 2 pp 213-238 1998.
- 11- L .Oxley " Study of Shear Plane in Milling Operation Systems " *Machining Science and Technology* ' Vol . 3 ' N . 5 ' pp 177-182 ' 2000 .
- 12- Metals Handbook · Machining processes · ASM · Ninth Edition · Vol .9 · N . 4 · pp .322 · 2002 .